تحضير و دراسة الخصائص التركيبية والكهربائية $\mathrm{Sr}_{_{y}}\mathrm{Ni}_{_{1-y}}\mathrm{Fe}_{_{2}}\mathrm{O}_{_{4}})$ والمحضر بطريقة سول – جل للاحتراق الداخلي

شيرين قادر حاج ، حسين علي محمد جامعة كركوك / كلية التربية للعلوم الصرفة - قسم الفيزياء

الخلاصة:

 $Y=0.0,\,0.1,\,0.2,\,0.3,\,0.4,)$ لقيم ($Sr_yNi_{1-y}Fe_2O_4$) لقيم الكيميائية ($Sr_yNi_{1-y}Fe_2O_4$) للاحتراق التلقائي حيث تحت كلسنة العينات بدرجة حرارة (Ton/cm^2) باستخدام طريقة (Ton/cm^2) للاحتراق التلقائي حيث تحت دراسة الخصائص التركيبية للمركب باستخدام تقنية للدة ساعتين و كبسها تحت ضغط (Ton/cm^2) و قمت دراسة الخصائص التركيبية للمركب باستخدام تقنية حيود الاشعة السينية (Ton/cm^2) و اظهرت النتائج ان المركب (Ton/cm^2) ذو تركيب مكعب الشكل مع وجود طور ثانوي هو (Ton/cm^2). اما نتائج التركيب الداخلي ظهرت من خلال جهاز المجهر الالكتروني مع وجود طور ثانوي هو (Ton/cm^2). اما نتائج التركيب الداخلي ظهرت من خلال جهاز المجهر الالكتروني الماسح (Ton/cm^2) بان الحجم الحبيبي يتراوح بين (Ton/cm^2)، أظهرت دراسة الخصائص الكهربائية ان الماسح (Ton/cm^2) و الخيالي(Ton/cm^2) تتناقص مع زيادة التردد و ان قيمة التوصيلية الكهربائية المتناوبة (Ton/cm^2) تزداد مع زيادة التردد.

الكلمات المفتاحية: XRD,SEM ، التوصيلية الكهربائية ، السول - جل ، المركب النانوي .

Preparation and study of the structural and electrical properties of the nanocomposite (Sr_yNi_{1-y}Fe₂O₄) Internal and prepared by sol-gel method for combustion

Shereen Kader Haj , Hussein Ali Mohammed

Department of Physics - College of Education for Pure Sciences / University of Kirkuk

Abstract:

The nanocomposite with the chemical formula $(Sr_yNi_{1-y}Fe_2O_4)$ was prepared using the spontaneous combustion and by weight ratios $(x=0.0,\ 0.1,\ 0.2,\ 0.3,\ 0.4,\ 0.5)(sol-gel)$ method, where the samples were calcined at a temperature of $(700^{\circ}C)$ for two hours and pressed under pressure of $(5\ tons/cm^2)$, and the structural properties of the compound were studied using the diffraction technique. X-rays (XRD) and these results showed that the compound has a cubic structure with a secondary phase (Fe_2O_3) . As for these results of the internal structure, it appeared through a scanning electron microscope (SEM) that the particle size ranges between (25.9-35.6)nm, while studying the electrical properties showed that the constant The real and imaginary insulation decrease with the increase in frequency and the value of AC electrical conductivity $(\sigma_{a.c})$ increases with the increase in frequency.

1 - المقدمة

يعد الفرايت مجموعة من اكاسيد الحديد و تعتبر مواد صلبة و هشة مثل بقية السيراميك[1]. الصيغة العامة للفرايت هو (MFe2O₄) حيث ان M تمثل احدى عناصر ثنائية التكافؤ مثل (Co⁺²,Mg⁺²,Zn⁺²,Cu⁺²,Ni⁺²) أو خليط بينها، حيث انها تمتاز بنفاذية مغناطيسية عالية ومقاومة كهربائية عالية[2]. وثابت عزل يتراوح بين (15-15)، من اهم انواع الفرايت هو الفرايت المغزلي (Spinal Ferrites) و هو يعتبر شائع الاستعمال في العديد من الاجهزة الالكترونية والمغناطيسية بسبب نفاذيتها العالية، وكذلك غير قابل للتاكل والممتلاكه استقرار حراري عالي [3]. يتم تحضير الفرايت على شكل مسحوق (Powder) وبعدها تم عملية الكبس والتلبيد لتاخذ الشكل المطلوب ويعد الفرايت من المواد رخيصة الثمن، وسهلة التصنيع على عكس غيره من المعادن. [4] من اهم طرائق تحضير الفرايت النانوي هي الطريقة الكيميائية (سول-جل) للاحتراق التلقائي وتعد من الطرق المميزة و ذلك لسهولة تحضيرها وقصر

الوقت وعدم الحاجة الى درجات حرارة عالية[5]. تم دراسة الخصائص التركيبية باستخدام تقنية حيود الاشعة السينية (XRD) والمجهر الالكتروني (SEM) حيث تم دراسة الحجم الحبيبي لمركب و الكثافة الظاهرية و تبين nm(25.9-35.6) ان المركب ضمن الحجم النانوي وكذلك دراسة الخصائص الكهربائية باستخدام جهاز $(\acute{\epsilon}_r)$ أهمها ثابت العزل الكهربائي (LCR meter) والتوصيلية الكهربائية المتناوبة.

2 - الاجراءات العملية 2-1 المواد الاولية المستخدمة

استخدمت مواد ذات نقاوة عالية حيث ان وجود بعض الشوائب يؤثر على الخواص التركيبية للمواد الفرايتية و بدوره يؤثر على الخواص الكهربائية و هي نترات النيكل المائية $Ni~(NO_3)_2 6 (H_2 O)$ ، نترات الحديد المائية ($(NO_3)_39(H_2O)$) نترات السترونتيوم $C_6H_8O_7(H_2O)$ وحامض الستريك $Sr(NO_3)_2$ كوقود للتفاعل، والجدول (1) يوضح المواد الاولية . ($Sr_vNi_{1-v}Fe_2O_4$) المستخدمة في تحضير المركب

جدول رقم (1) المواد الاولية المستخدمة

Materials	Chemical for Mula	Molarmass g/mol	Purity	Company
Eisen Nitrat	$Fe(NO_3)_39(H_2O)$	403.999	99%	E.Merck
Strontium Nitrat	Sr(NO ₃) ₂	211.63	99%	Riedel
Nickel Nitrat	Ni(NO ₃) ₂ 6(H ₂ O)	290.79	99%	Riedel
Ammonia	NH ₃	17	99%	Lab chemie
Citric Acid	C ₆ H ₈ O ₇ (H ₂ O)	210.14	99%	Fluka

2-2. طريقة التحضير

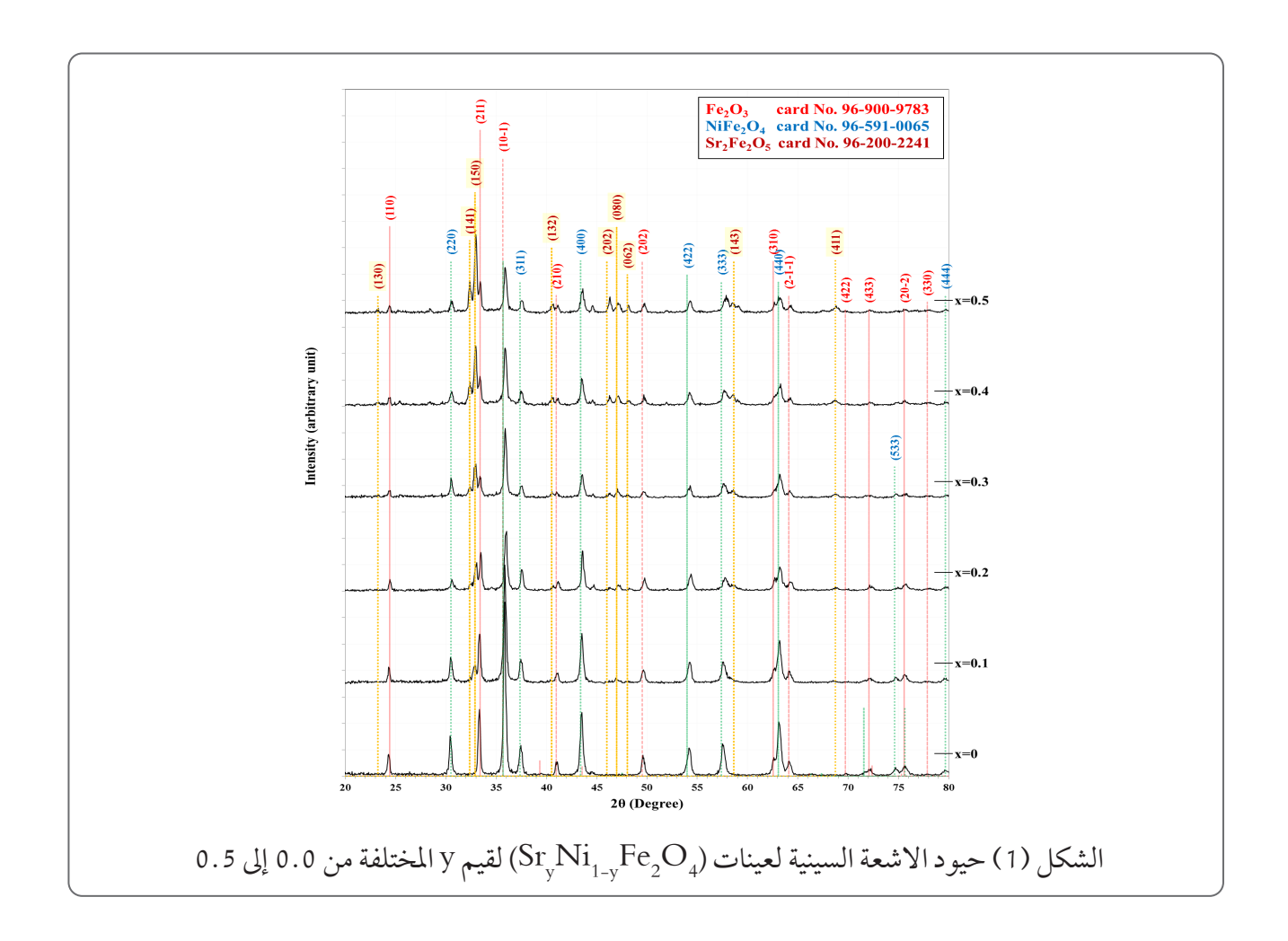
لقد تم استخدام طريقة (سول-جل) للاحتراق التلقائي في تخضير المركب ($\mathrm{Sr_yNi_{1-y}Fe_2O_4}$) القيم (y=0.0, 0.1-0.5). تمت اذابة نترات المعادن و حامض الستريك في الماء المقطر ثم يخلط في دورق كبير مقاوم للحرارة (Pyrex)، ويتم خلط المواد بواسطة المحرك المغناطيسي (Magnetic Stirrer) ومن ثم اضافة الامونيا لمعادلة الدالة الحامضية (Ph=7) و يخلط المحلول لمدة (30min) لضمان تجانس المحلول عند درجة حرارة الغرفة. بعد ذلك يتم رفع درجة الحرارة الى (80°C) مع الاستمرار بالتحريك تبدا الغازات بالتصاعد ويترك لحين الوصول الى الشكل الهلامي (gel) بعدها نقوم برفع درجة الحرارة الى (100°C) حيث يبدأ (gel) بالانتفاخ ومن ثم الاشتعال و يتحول الى هلام جاف، وبعد ان يبرد نقوم بعملية الطحن باستخدام مورتر من العقيق للحصول على اكبر تجانس، و من ثم كلسنتها بالفرن الكهربائي عند درجة حرارة (°700 C) لدة (2h)، و بعدها يتم كبس العينات باستخدام مكبس هايدروليكي يدوي احت ضغط مقداره (5ton/cm²) لمدة (3min). يمكن استخدام طريقة النسب الوزنية المولية المعتمدة على عدد المولات لكل عنصر لتحضير المركب الفرايتي حسب العلاقة التالية:

الكمية المراد تحضيرها = الوزن الجزيئي للمادة/ مجموع الوزن الكلي الجزيئي لجميع مركبات الاملاح

3 - النتائج و المناقشة 3 - 1. فحوصات حيود الاشعة السينية (XRD)

تبين نتائج فحصوات حيود الاشعة السينية (XRD) ان المركب $(Sr_yNi_{1-y}Fe_2O_4)$ ظهرت له ثلاثة مركبات و بأطوار مختلفة و هي (Fe_2O_3) ، (Fe_2O_3))،

ولكل مركب عدة قمم كما موضح في ($\mathrm{Sr_2Fe_2O_5}$) الشكل (1)، يحوي طور الهمتايت (Hematite) نو التركيب البلوري المعينى ، اضافة الى ($\mathrm{Fe_2O_3}$) طور المركب الثلاثي ($NiFe_2O_4$) المكعب الشكل [6]، ظهرت لهذه الاطوار العديد من القمم تعود للمستويات البلورية المتعددة، ان سبب وجود اطوار ثانوية هي درجة الحرارة المستخدمة و من اجل الحصول على طور نقي يجب ان تكون درجة الحرارة بحدود (1200°C) و هذا مطابق للبحوث السابقة . [7] اضافة للأطوار التي سبق ذكرها قبل التشويب بالسترونتيوم نلاحظ ظهور طور جديد و خصوصا بالنسب العالية من السترونتيوم يعود للتركيب البلوري لمركب ذو الشكل الرباعي ، تزداد شدة هذه ($\mathrm{Sr_2Fe_2O_5}$) القمم بالإضافة الى تقصان شدة الاطوار الاخرى مع زيادة نسبة السترونتيوم. والشكل (1) يوضح مقارنة بين حيود الاشعة السينية لعينات المركب بنسب مختلفة من السترونتيوم (y=0.0,0.1-0.5) من السترونتيوم



وتم حساب ثابت الشبيكة للتركيب المكعب بالعلاقة التالية . [8]

$$d_{hkl} = \frac{a}{\sqrt{h^2 + k^2 + l^2}} - - - - - (1)$$

(XRD) المسافة بين المستويات المتوازية لـ (XRD) المسافة بين المستويات المتوي . hkl عماملات ميلر لكل مستوي . كما يمكن حساب الحجم الحبيبي باستعمال معادلة (ديباي-شرر) كما يأتي . [9]

$$D_{sh} = \frac{k\lambda}{\beta \cos\theta} \quad -----(2)$$

K: ثابت قيمة (0.9) تقريباً.

 λ : الطول الموجي للأشعة السينية المستخدمة وتقاس بوحدة (nm) .

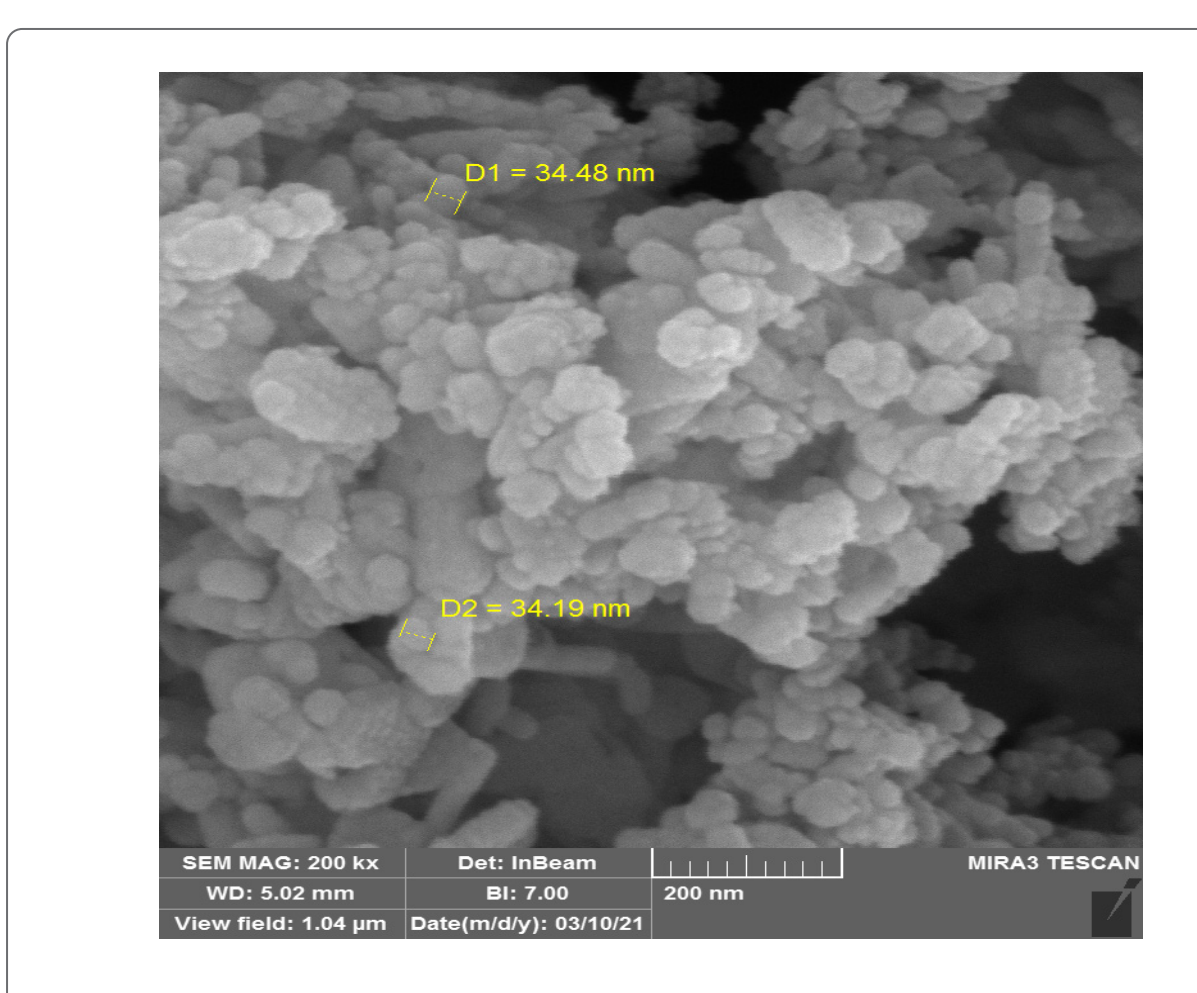
 β اقصى عرض عند منتصف الشدة وتقاس بوحدة (rad) .

. (deg) زاوية براك وتقاس بوحدة : θ

(SEM) فحوصات المجهر الالكتروني الماسح

رم استخدام تقنية المجهر الألكتروني (SEM) في فحص وتصوير عينات المركب النانوي في فحص وتصوير ألم وتصوير المتخدام طريقة (سول— $(Sr_yNi_{1-y}Fe_2O_4)$) والمحضرة باستخدام طريقة (سول—جل) للاحتراق التلقائي حيث تم من خلال هذه التقنية حساب الحجم الحبيبي للمركب النانوي وكانت بحدود (25.9-35.6)

فحص حيود الاشعة السينية (XRD) نجد ان القياسات متقاربة في كلتا الطريقتين. والشكل (2) يبين صورة المجهر الالكتروني عند النسبة (y=0.3).



الشكل (2) صورة المجهر الالكتروني عند النسبة (y=0.3)

ع: سهاحية الفراغ وهي قيمة ثابت تساوي

(m²) مساحة المقطع العرضي للعازل بوحدة قياس A

 $.(10^{-12} * 8.85 \text{ F/m})$

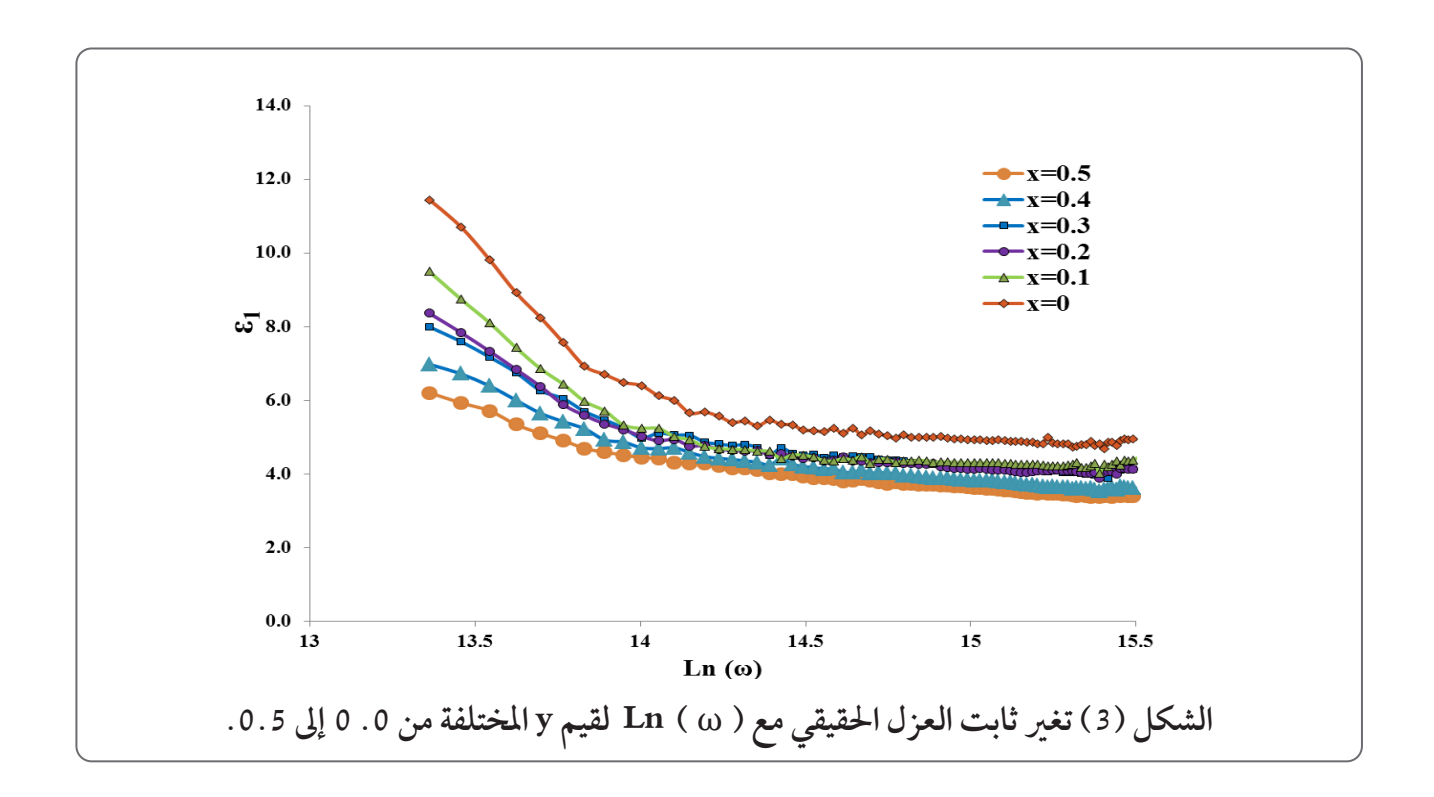
d : المسافة البينية بين لوحى المتسعة و تقاس بوحدة (m). حيث ان ثابت العزل الحقيقي ينخفض في

لترددات الواطئة لجميع العينات والشكل (3) يوضح تغير ثابت العزل مع لوغارتم التردد الزاوي.

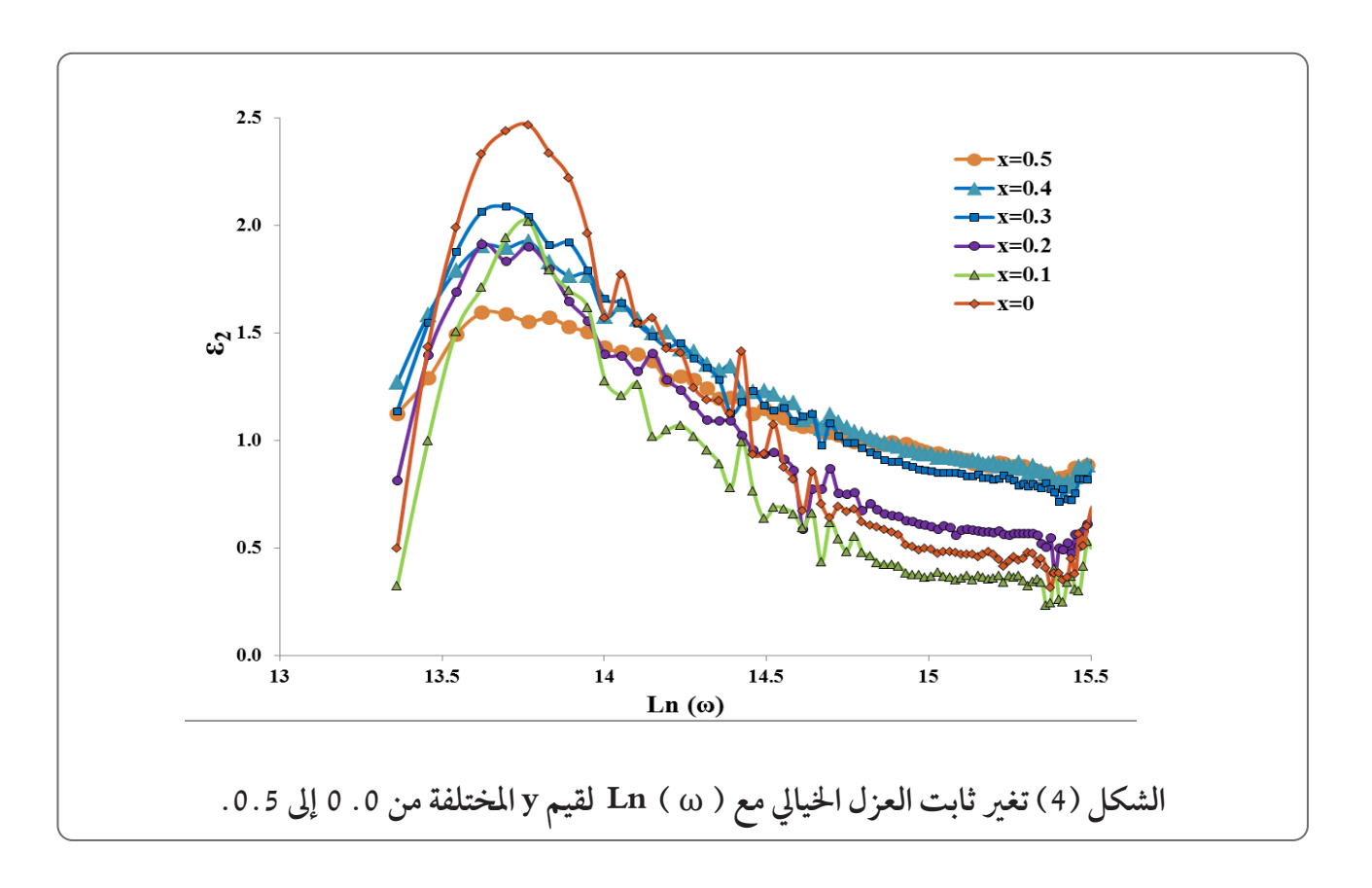
3-3 الفحوصات الكهربائية $(\hat{\epsilon}_{\rm r})$ ثابت العزل الكهربائى تم حساب ثابت العزل من المعادلة التالية . [10]

$$\varepsilon_r' = \frac{Cd}{\varepsilon \cdot A}$$
 ----(3)

ثابت العزل الكهربائي $\dot{\epsilon}_{r}$ C: السغة في المادة العازلة



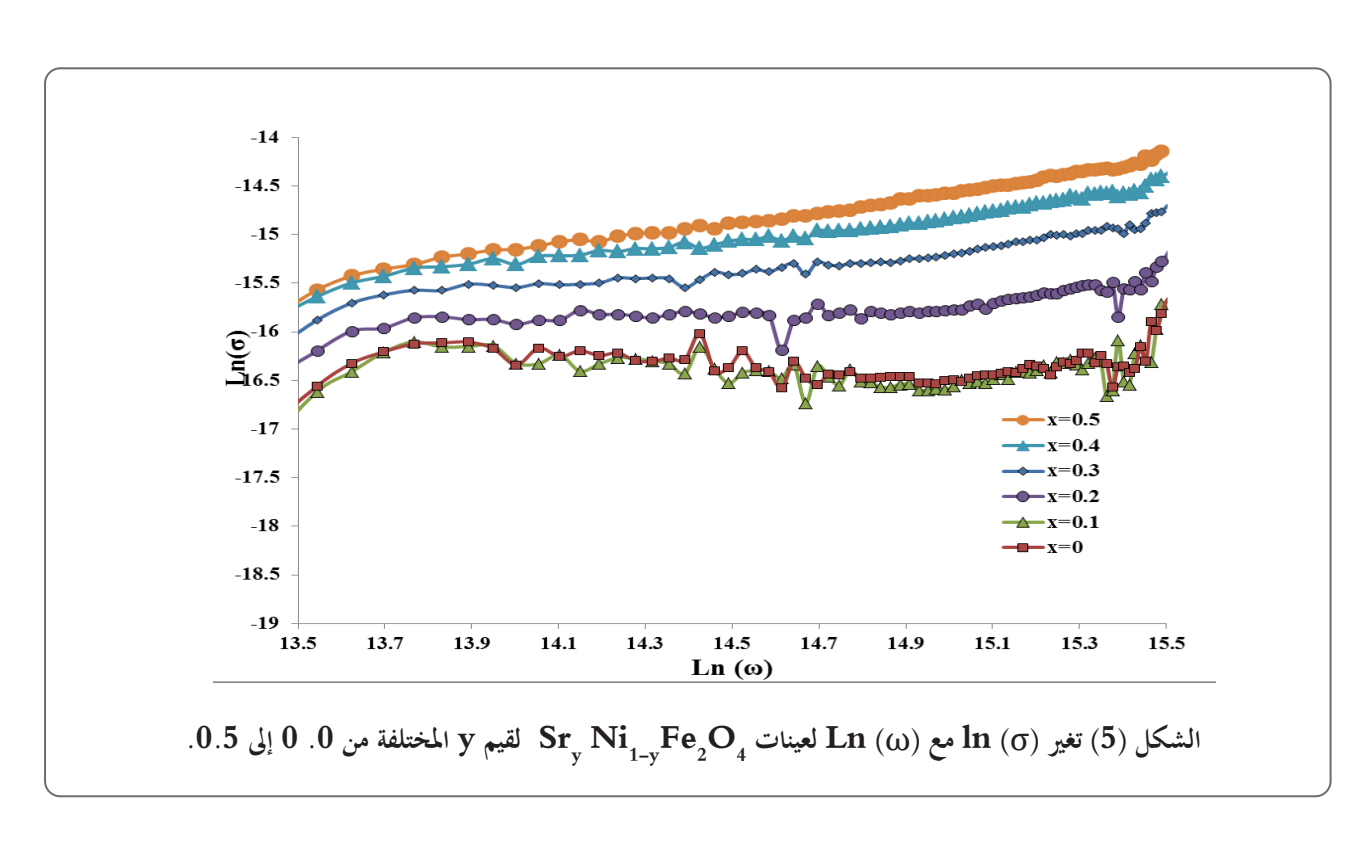
اما ثابت العزل الخيالي يتغير بمقدار قليل مع تغير نسبة السترونتيوم والشكل (4) يوضح تغير ثابت العزل الخيالي مع لوغارتم التردد الزاوي.



3-3-2. التوصيلية الكهربائية المتناوبة

ان قيمة التوصيلية الكهربائية تزداد بزيادة التردد في جميع العينات و هذا يتفق مع. [11] وقد لوحظ

ان التوصيلية الكهربائية تزداد مع زيادة تركيز 2 . Sr الشكل (5) يوضح تغير لوغارتم التوصيلية الكهربائية المتناوبة مع لوغارتم التردد الزاوي .



الاستنتاج:

من خلال قياسات طيف حيود الأشعة السينية من خلال قياسات طيف حيود الأشعة السينية $(Sr_yNi_{1-y}Fe_2O_4)$ ذو طور مغزلي وان المركب له حجم حبيبي ضمن المدى النانوي (5.6-25.9-35.6) ، بينها اثبتت القياسات الكهربائية ان ثابت العزل يقل مع زيادة التردد والتوصيلية الكهربائية تزداد مع زيادة التردد وان افضل نسبه للتعويض هي (y=0.3).

- [7] H. Salazar-Tamayo, K. E. G. Tellez, and C. A. B. Meneses, "Cation vacancies in NiFe2O4 during heat treatments at high temperatures: Structural, morphological and magnetic characterization," Mater. Res., vol. 22, no. 5, pp. 1-11, (2019).
- [8] M. J. Iqbal, M. N. Ashiq, P. Hernandez-Gomezb and J. M. Munoz, "Synthesis, Physical, Magnetic and Electrical Properties of Al-Ga Substituted Coprecipitated Nanocrys- talline Strontium Hexaferrite," Journal of Magnetism and Magnetic Materials, Vol. 320, No. 6, pp. 881-886,(2007).
- [9] Hong, Y. S.; Ho. M.; Hsu, H. Y.; Liu, C. T. J. Magn. Magn. Mater, 279,401, (2004).
- [10] Sugimoto, M. The past, present, and future of ferrites. Journal of the American Ceramic Society, 82(2), 269-280, (1999).
- [11].P.A. Noorkhan and S. Kalayne,"Synthesis, Characterization Ac Conductivity of Nickel Ferrite", Journal of Engineering Research and Applications, 2, 681–685, 2012.

المصادر

- [1]. كاظم جواد كاظم، «تحضير ودراسة خواص الامتصاصية لمادة الفرايت»، مجلة كلية. التربية الأساسية، (63)، 567 – 578، (2010).
- [2] . Saija "Synthesis and Characterization of tetravalent cation substituted Mn-Zn Ferrite suitable for high Fervnency Applications ph: D Saurashtra university 2–9 (2012)
- [3] . اسماعيل خليل ، «تأثير المعاملة الحرارية على الخواص مغناطيسية لسلسلة سبائك (Fe-Ni) المحضرة تكنلوجيا المساحيق، مجلة تكريت للعلوم الصرفة، 18 (5)، 244 - 249، (2013).
- [4]. امين دواي ثامر، دراسة الخواص المغناطيسية لكبو سات (Fe, Co) ، مجلة الهندسة والتكنلو جيا، .(2008), 1-18, (1)26
- [5]. P.K. Roy," Enhancement of the magnetic properties of Ni-Cu-Zn ferrites with the substitution of a small fraction of lanthanum for iron", National Institute of Technology Journal, 42(1), 77-83,(2006).
- [6] M. Hoppe, S. Döring, M. Gorgoi, S. Cramm, and M. Müller, "Enhanced ferrimagnetism in auxetic NiFe2O4 in the crossover to the ultrathinfilm limit," Phys. Rev. B, vol. 91, p. 054418,(2015).